

ارزیابی ریسک ویژه زمین لغزش در بخشی از البرز جنوبی

محسن شریعت جعفری^{۱*}

دریافت مقاله: ۸۷/۷/۲ پذیرش مقاله: ۸۷/۶/۴

چکیده:

گرچه اغلب نمی‌توان مانع از وقوع رخدادهای طبیعی مانند زمین‌لغزش شد، اما با شناخت، ارزیابی و مدیریت جامع ریسک زمین‌لغزش می‌توان خسارات و آسیب‌ها را در حد قابل قبولی کاهش داد و امکان استفاده بهینه از زمین را فراهم کرد. در این مقاله ریسک ویژه زمین‌لغزش در بخشی از دو حوزه هراز و دماوند از حوزه‌های واقع در البرز جنوبی ارزیابی شده است. ریسک ویژه زمین‌لغزش، عبارت از درجه آسیب‌پذیری مورد انتظار ناشی از وقوع رخداد لغزش زمین است. در این تحقیق اجزای اصلی ریسک پذیر شامل؛ تراکم جمعیت، سازه‌ها، منابع طبیعی و کشاورزی در منطقه‌ای است که بالقوه به وسیله خطر زمین‌لغزش تهدید می‌شود. در ارزیابی خطر لغزش زمین که از اجزاء اصلی معادله ریسک می‌باشد، از ساخت نفشه‌های وزنی خطر، آسیب‌پذیری و ضریب اهمیت نسبی عوامل استفاده شده است. دو شاخص شعاع تأثیر لغزش و فراوانی اجزای آسیب‌پذیر در ارزیابی و وزن دهی اجزای آسیب‌پذیر که جزء دوم معادله ریسک می‌باشند مورد استفاده واقع شده اند. ترکیب وزن‌ها و ساخت نفشه‌های وزنی خطر، آسیب‌پذیری و ریسک با استفاده از مدل همپوشانی شاخص‌های چند کلاسه انجام شده است. این مدل، عملگری افزایشی است، و وزن زیاد در پیکسل‌های خروجی آن، بیانگر حساسیت زیاد آن (تا بیش از دو برابر) نسبت به وزن زیاد در پیکسل‌های مشابه در عملگرهای کاهشی است. بنابر این کاربرد نتایج این مدل در طرح‌های توسعه و آمایش سرزمین خاص کاربری‌های حساس است.

نقشه ریسک ویژه منطقه، سطح آسیب‌پذیری مجموع عوامل آسیب‌پذیر در هر نقطه را، بالقوه برای طراحان طرح‌های توسعه و سرمایه‌گذاران محلی و منطقه‌ای نشان می‌دهد و پیش‌بینی افزایش زیان و آسیب‌پذیری را به طور کیفی در تغییر کاربری‌ها یا تغییر فراوانی منابع برای کاربران ممکن می‌سازد.

کلید واژه‌ها: ارزیابی ریسک، خطر، آسیب‌پذیری، زمین‌لغزش، البرز

۱- عضو هیئت علمی پژوهشکده حفاظت خاک و آبخیزداری mshariatj@hotmail.com

* مسئول مکاتبات

مقدمه

در تجزیه و تحلیل کیفی ریسک، اثر و احتمال به وقوع پیوستن ریسک‌های پیش‌بینی شده به طور کیفی ارزیابی می‌گردد. معیار متداول در اغلب استانداردهای مدیریت ریسک در تحلیل کیفی استفاده از ماتریس احتمال اثر می‌باشد. تحلیل کمی را معمولاً معادل با اندازه‌گیری ریسک می‌داند. پرسشنامه، آنالیز حساسیت، توابع توزیع احتمال (مانند تابع نرمال، مثلثی، نرمال لگاریتمی، درخت تصمیم‌گیری، شبیه‌سازی) از جمله ابزار و تکنیک‌های مورد استفاده در تجزیه و تحلیل کمی ریسک می‌باشد. بنابراین با توجه به تنوع ایده‌ها، متداول‌تری ها و ابزارهای سنجش و پیشرفت‌های سریع تکنولوژیکی در دنیا، برای رفع نیازها در سطح ملی، نیازمند تحقیقاتی منسجم و مدیریت شده هستیم.

آنچه امروزه در بخش بلایای طبیعی و بویژه رانش زمین توجه به ریسک را بیش از پیش ضروری ساخته، بهره‌برداری غیراصولی و بیش از حد از توان زمین است که منجر به افزایش دامنه و عمق زیان‌های ناشی از این رخدادها شده‌است.

سابقه تحقیق:

مرور سوابق موجود حاکی از سه دهه تلاش علمی در جستجوی یافتن راهکارهای ارزیابی و همزیستی با خطر لغزش و استفاده بهینه از منابع سرزمین است. بیشترین تلاش‌ها مندرج در منابع خارجی مربوط به دهه اخیر (۱۹۹۹-۲۰۰۸) است، (جدول ۱).

از بین آثار پیشین، اصول و مبانی مطرح شده توسط Varnes (1984) پایه بسیاری از مطالعات و متداول‌تری‌های ارائه شده توسط دیگر محققین است. تکیه بر تجربه و دانش ساختار اصلی مطالعات او است.

مطالعات (Laird & et al., 1979) با هدف ارزیابی ریسک در خلیج سانفرانسیسکو (کالیفرنیا) با تکیه بر آنالیز کمی قابلیت اراضی نمونه‌ای دیگر از مطالعات دهه‌های قبل است.

ریسک به طور عام به مفهوم احتمال زیان ناشی از یک رخداد در آینده است. در فرآیند ریسک نتایج و آثار یک رخداد محتمل با سطوح مختلفی از عدم اطمینان تشریح می‌شود. این آثار ممکن است مثبت یا منفی؛ کم یا زیاد، گذرا یا پایدار باشد. در استاندارد (PMBOK, 2004) ریسک به عنوان فرآیندی غیر قطعی و نامعین تعریف شده که همراه با پیامدها و اثرات مثبت یا منفی است. آنجا که اجزای آسیب‌پذیر در شعاع تأثیر لغزش‌ها وجود داشته باشند عواقب وقوع لغزش‌ها با عنوان ریسک لغزش ارزیابی می‌شوند.

در بیان ضرورت توجه به ریسک و اهمیت موضوع در دنیا می‌توان اذعان داشت: با دست‌یابی به تکنولوژی‌های پیشرفته، توجه به این رویکرد مهم با هدف استفاده بهینه از توان سرزمین در برنامه‌های توسعه، در دهه اخیر بیش از گذشته بوده، و این نیاز در بسیاری کشورها منجر به تدوین استانداردهایی مانند: استاندارد مدیریت ریسک کانادا (CAN/CSA) (1997)، استاندارد مدیریت ریسک استرالیا و نیوزلند (AS/NZS4360, 1999)، استاندارد مدیریت ریسک JSA، بریتانیا (2000)، BSI، استاندارد مدیریت ریسک ژاپن، AIRMIC (2001)، و استاندارد مدیریت ریسک ایرمیک (2002) شده است. در شرایط فعلی، راهبرد اصلی ارائه شده در برنامه مدیریت ریسک سازمان ملل (UN/ISDR, 2005) همزیستی با ریسک با تاکید بر ریسک بلایای طبیعی است. شناسائی و ارزیابی ریسک یکی از بخش‌های اصلی و مهم در استانداردهای مدیریت ریسک در دنیا است. از جمله اهداف مدیریت جامع ریسک، کاهش احتمال زیان و آسیب‌پذیری و ایجاد فرصت‌ها، افزایش اثر بخشی و بهره‌وری است. برآورد و ارزیابی ریسک بلایای طبیعی و بویژه رخدادهایی مانند زمین‌لغزش، نسبت به ریسک‌های مطرح در بخش‌هایی مانند صنعت، به مرتب پیچیده‌تر است، چرا که پیش‌بینی و مدل کردن رفتار عوامل طبیعی بسیار مشکل‌تر و در مواردی قابل پیش‌بینی نیست.

محسوس است. تدوین برنامه‌ها و استانداردهای مدیریت

(Remondo et al. 2004) از آنالیز داده‌های تاریخی در ارزیابی خطر، آسیب پذیری و ریسک لغزش استفاده کرده‌اند. در بعضی مطالعات به جای ارزیابی ریسک زمین لغزش به ارزیابی ریسک گروه خاصی از زمین لغزش‌ها پرداخته شده است، مانند ارزیابی منطقه‌ای ریسک سیلان‌های واریزه‌ای توسط Liu et al. (2002, 2003) و ارزیابی ریسک سقوط سنگ توسط Guzzetti et al. (2003b)

(Xie & Xia, 2004) استفاده از نئوری سیستمی را برای Varnes (1984) پیشنهاد کردند. در این روش از مجموعه‌ای از

مدل‌های مفهومی و ریاضی بهره گرفته می‌شود تا ویژگی‌های مهم سیستم‌های پیچیده را شناسایی و شبیه‌سازی نماید. ارزیابی ریسک در نگاه سیستمیک شامل سه مرحله: تجزیه و تحلیل و شناسائی ریسک (Risk Analysis); ارزیابی و برآورد ریسک (Risk Assessment) و نهایتاً تشخیص و مقایسه ریسک (Risk Evaluation) می‌باشد. یکی از صاحب‌نظران خطرات طبیعی در سوئیس به نام Hollestein (2005) تعریف ساده‌ای را برای ریسک (R) پیشنهاد کرد:

$$R = F \times N$$

در این رابطه F عبارت از فراوانی رخداد و N نماد زیان ناشی از آن می‌باشد.

در ارزیابی ریسک زمین لغزش در هیمالیا Rautela و Lakhera در سال 2000، نقشه پنج کلاسه فراوانی جمعیت را با نقشه خطر برآش دادند.

در دهه اخیر در ایران تحقیقات نسبتاً خوبی در موضوع ارزیابی کارائی و بومی‌سازی مدل‌های برآورد خطر زمین لغزش انجام گرفته؛ ولی در رابطه با ارزیابی و مدیریت ریسک زمین لغزش تعداد آثار موجود به چند مورد بیشتر نمی‌رسد.

ویژگی‌های منطقه:

منطقه طرح (شکل ۱) با تنوع قابل توجه لیتوژئیکی؛ شیب؛ لرزه‌خیزی و بارش بخش‌هایی از دو حوضه هراز و دماوند با مساحت ۱۵۵۶ کیلومتر مربع است. از دیدگاه زمین ساخت

با پیشرفت علم و تکنولوژی در دهه (۱۹۹۹-۲۰۰۸) و بویژه

در سالهای اخیر، رشد علمی قابل توجه در این زمینه

جدول ۱- مواردی از سابقه تحقیق در سه دهه اخیر

دوره تحقیق	تحقیقات و مطالعات ارزیابی ریسک زمین لغزش
دهه اخیر ۱۹۹۹ تا ۲۰۰۸	Dai et al. (2002), Liu X. & Lei j. (2003), Spiker&Gori(2000,2003a,b) Prina E. et.al.(2004) , Rocha G. (2004), Van Westen CJ (2004), Wu Q et. Al (2004) , Rocha (2004), Spizzichino et. al (2004) Hollestein k. (2005) Chacon et. Al (2006)
دهه ۱۹۸۹ تا ۱۹۹۸	Fell (1992/1994) , Fell & Hartford (1997), Baynes & Lee (1998), Carrara et al (1992) Abbot et.al (1998a & b) , Leroueil & Locat (1998)
دهه ۱۹۷۶ تا ۱۹۸۸	Aionso E. (1976) , Stevenson PC (1977) , Laird & et al. (1979), Varnes (1984), Einstein H. (1988)

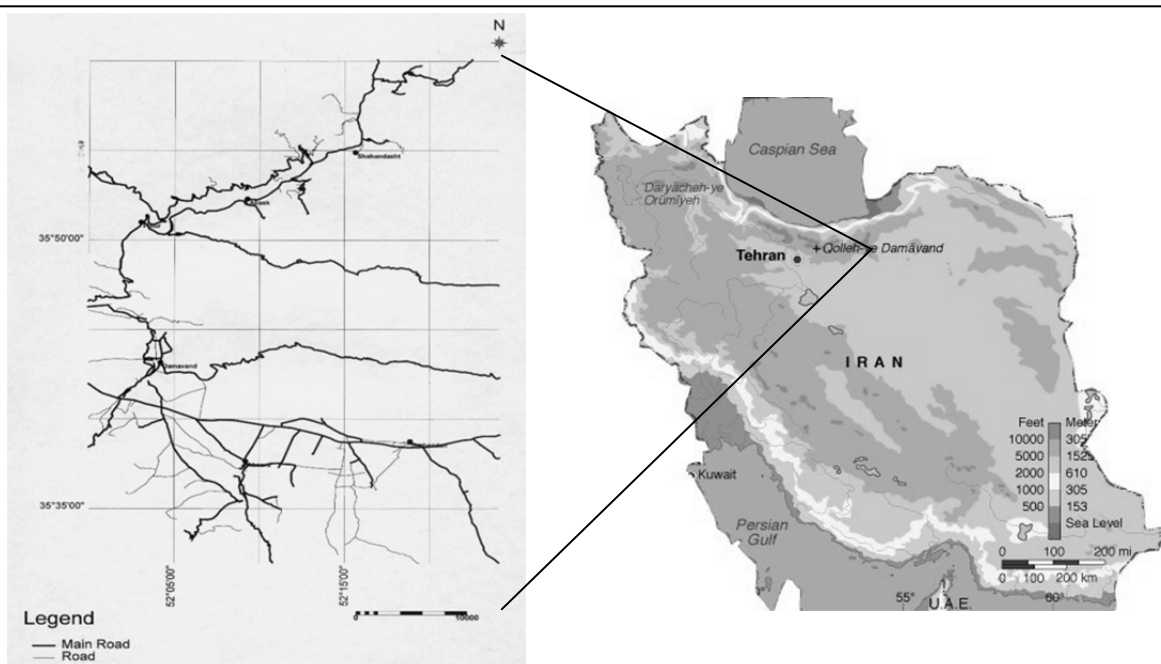
ریسک در کشورهای توسعه یافته اغلب در این دهه انجام شده است. بی تردید نیازهای روز افزون بشری به استفاده بیشتر و مدیریت شده از منابع سرزمین از عوامل اصلی این شتاب است.

در تعریف پنهانه‌های هم آسیب‌پذیر، که بر پایه آنالیز آماری و GIS توسط Maquaire et al. (2004) تجربه شد، وزن هر جزء واقع در داخل یک پنهانه هم آسیب‌پذیر مانند راه، واحد مسکونی و غیره براساس آنالیز آماری ویژگی‌های زمینه‌ای و هندسی و با بهره‌گیری از دانش کارشناس خبره تعیین شد.

برای برآورد آسیب‌پذیری منطقه شهری Manizales در کلمبیا، Chardon(1999) با استفاده از روش‌های آماری و ماتریس برلین یک طبقه‌بندی برای سطوح آسیب‌پذیری ارائه کرد.

Prina et al.(2004) در پروژه ارزیابی ریسک در جاده کوهستانی بین شهرهای Aigle و Etvizaz در سوئیس، آسیب‌پذیری اجزای مختلف را از چهار جنبه فیزیکی، اجتماعی، محیطی و اقتصادی مورد توجه قرار دادند.

Chacon et al. (2006) به توصیف نقشه‌های زمین‌شناسی مهندسی خطر و ریسک و مرور منابع با تأکید بر سیستم اطلاعات جغرافیائی پرداخته اند. Carrara et al. (1992) و Malamud (2003) از آنالیزهای آماری زمین‌لغزشها در ارزیابی خطر و ریسک استفاده نموده‌اند.



شکل ۱- محدوده منطقه تحقیق

در نهایت مهارت و تجربه کارشناس خبره است. ریسک ویژه زمین‌لغزش درجه آسیب‌پذیری مورد انتظار ناشی از وقوع رخداد لغزش زمین در هر نقطه از منطقه است و بیان‌کننده استعداد بالقوه هر نقطه از منطقه از جنبه آسیب‌پذیری ناشی از وقوع رخدادهای زمین‌لغزشی است. برای برآورده ریسک ویژه رانش زمین که عبارت است از حاصل ضرب پتانسیل خطر طبیعی (H) در پتانسیل آسیب‌پذیری (V) است دو نقشه کلاسه‌بندی شده خطر و آسیب‌پذیری قطع داده شدند. تلفیق کلاس‌های خطر و آسیب‌پذیری در مدل ارزیابی ریسک رانش زمین با استفاده از یک جدول دو بعدی (شروعت‌جفری ۱۳۸۵) انجام شد.

در این تحقیق تهیه لایه‌های اطلاعات رقومی، جداول ویژگی‌ها، وزن‌دهی، همپوشانی و قطع لایه‌ها، تهیه نقشه‌های تلفیقی، اجرای مدل‌ها، و استخراج و مقایسه نتایج به دلیل حجم بالای داده‌ها و محاسبات ریاضی و آماری در محیط GIS انجام گرفت. در ترکیب لایه‌ها و ساخت نقشه‌های وزنی خطر، آسیب‌پذیری و ریسک از مدل همپوشانی شاخص‌های چند کلاسه استفاده شده است. در تهیه داده‌های اولیه از منابع مختلف شامل نقشه‌های زمین‌شناسی ۱/۱۰۰۰۰۰، توبوگرافی ۱/۵۰۰۰۰، عکس‌های

ایران به دلیل حضور گسل‌های فعال و قله دماوند از مناطق فعال ژئودینامیکی است. از جنبه فیزیوگرافی منطقه‌ای پر شیب و مرتفع است. و از لحاظ لیتوژئیکی دربرگیرنده واحدها و سازندهایی با سن پرکامبرین تا کواترنر است. رسویات پالئوزوئیک و مزوژوئیک از شمال به جنوب منطقه به طور متوالی تکرار شده‌اند. این منطقه از منظر فعالیت‌های اقتصادی، اجتماعی، عمرانی، کشاورزی و منابع طبیعی و توسعه زیرساخت‌ها از مناطق حساس و پر اهمیت به شمار می‌رود.

منابع و روش تحقیق

عموماً همه محققین اتفاق نظر دارند که اولین قدم درستجو و ارزیابی ریسک زمین‌لغزش، داشتن اطلاعات کافی از رخدادهای زمین‌لغزشی است. تهیه و ثبت اطلاعات زمین‌لغزش‌های منطقه پیرو این ضرورت انجام گرفت. هر چند کیفیت ارزیابی ریسک از منظرهای مختلف از تنوع قابل توجه برخوردار است اما در عموم متداول‌ژئی‌ها بر استفاده از دو عنصر ساختاری آسیب‌پذیری و خطر اتفاق نظر وجود دارد و بدون هر یک از آنها ارزیابی ریسک مفهومی نخواهد داشت. کیفیت ارزیابی این دو عنصر ساختاری تابع اهداف پژوهش، مقیاس، منابع مالی، تکنولوژی و

برآورد پتانسیل خطر زمین لغزش

يونسکو وانجمن بینالمللی زمین‌شناسی مهندسی، خطر طبیعی را وقوع پدیدهای مخرب در مکان و زمان مشخص تحت شرایط و عملکرد عوامل خاص تعریف می‌کنند. با توجه به این اصل که، رخدادها و خطرات طبیعی در آینده تحت شرایطی مشابه با گذشته اتفاق خواهد افتاد، Hollestein (2005) پتانسیل خطر را به عنوان احتمال وقوع یا دوره بازگشت یک رخداد طبیعی تعریف کرده است.

در ارزیابی پتانسیل خطر زمین لغزش پس از بررسی‌های اولیه، چهار عامل غالب با دامنه تغییرات قابل توجه در محدوده طرح برگزیده شدن: عامل لیتوژئی که بیانگر ویژگی‌های ذاتی مواد تشکیل دهنده شیب‌هاست، عامل شیب که بیانگر تغییرات هندسی و ریخت‌شناسی دامنه‌هاست، و دو عامل بارش باران و شتاب ناشی از زلزله که در رده مهم‌ترین عوامل محرک محیطی هستند. اطلاعات لازم از منابع مختلف استخراج و پس از پردازش و تائید به صورت رقومی ثبت گردید. پس از تهیه و ثبت اطلاعات، تهیه نقشه‌های وزنی عوامل مؤثر در وقوع رخدادها مهمترین مرحله در فرآیند ارزیابی خطر است.

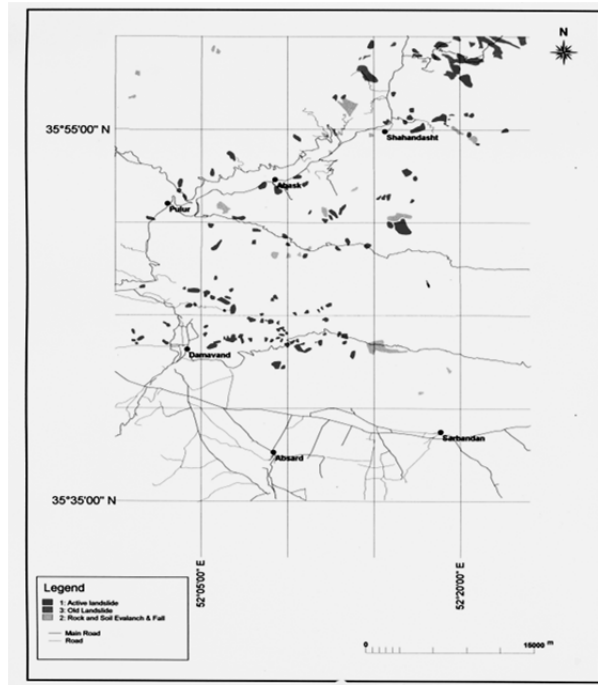
ساخت و همپوشانی نقشه‌های وزنی خطر

هر یک از عوامل مؤثر در ناپایداری و لغزش زمین با یک وزن معرفی می‌شوند. وزن هر عامل ذاتی (مانند ویژگی‌های لیتوژئیکی) بیانگر میزان حساسیت یا تأثیرپذیری آن از نیروهای مخرب است، و در مورد عوامل محیطی (مانند بارندگی یا زلزله) بیانگر تأثیرگذاری یا مشارکت آن در وقوع رخدادهای است. دامنه تأثیر هر عامل در وقوع رخداد زمین لغزش دارای گسترهای از صفر (عدم تأثیرگذاری) تا یک (حداکثر تأثیرگذاری) است. چنانچه میزان تأثیر یا مشارکت یک عامل در وقوع رخداد زمین لغزش با وزن $0/8$ معرفی شود. به مفهوم آن است که این عامل به طور نسبی با احتمال 80 درصد در وقوع رخدادهای مشابه با آنچه در گذشته اتفاق افتاده، مؤثر خواهد بود. برای برآورد وزن یا میزان مشارکت

هوائی $1/2000$ ، داده‌های لرزه‌خیزی، بارش و پوشش گیاهی، استفاده شده است.

ثبت رخدادهای زمین لغزشی منطقه

قدم نخست در پروسه ارزیابی ریسک زمین لغزش، شناسائی و ثبت رخدادهای زمین لغزشی است. این رخدادها پس از شناسائی با ابعاد واقعی بر روی یک نقشه پایه رسم می‌شوند (شکل ۲). انتخاب نقشه توپوگرافی با مقیاس مناسب به عنوان نقشه پایه می‌تواند اولین گام محسوب می‌شود. شناسائی این رخدادها به طور عمده با استفاده از داده‌های هوائی بزرگ مقیاس انجام می‌گیرد. کل زمین لغزش‌ها ثبت شده به 150 مورد می‌رسد. از لایه اطلاعات پراکنش زمین لغزش‌ها به عنوان شاخصی مهم در قضاوت کارشناسی، وزن دهی و طبقه‌بندی عوامل استفاده می‌شود. همچنین این داده‌ها جهت ارزیابی نتایج خروجی مدل‌های تلفیق مورد استفاده قرار می‌گیرند. در مجموع $2/6$ درصد مساحت کل منطقه طرح چهار گسیختگی و لغزش شده است.



شکل ۲- نقشه زمین لغزش‌های منطقه

(شروعت جعفری و حامد پناه (۱۳۸۶)

برای تعیین اهمیت نسبی عوامل از دیگر روش‌ها مانند تشکیل ماتریس زوجی و استفاده از مفاهیم نرم‌السازی و میانگین موزون نیز در منابعی مانند احمدی و همکاران (۱۳۸۴) استفاده شده است.

ترکیب وزن‌ها

برآورد پتانسیل خطر وقوع زمین لغزش در هر نقطه از منطقه حاصل برآیند اثر مجموعه عوامل فوق‌الذکر است، که با هم‌پوشانی لایه‌ها با استفاده از یک مدل قطعی (Deterministic) انجام می‌شود. در این تحقیق ترکیب وزن‌ها با استفاده از مدل هم‌پوشانی شاخص‌های چند کلاسه انجام شد. در این مدل میانگین اثر وزنی هر پیکسل در نقشه خروجی بر اساس رابطه ۲ تعیین می‌گردد. این مدل، مدلی است منطقی که امکان ترکیب لایه‌های اطلاعات را به نحو مطلوب فراهم می‌کند (بونهام- کارتز ۱۹۹۶).

$$S = \frac{\sum_i^n S_{ij} W_i}{\sum_i^n W_i} \quad (2)$$

در این رابطه: $S =$ میانگین اثر وزنی هر پیکسل یا پلی‌گون در نقشه است، $S_{ij} =$ اثر وزنی واحد زام از نقشه i ام و $W_i:$ وزن i امین نقشه ورودی می‌باشد.

برای عملیاتی شدن نقشه نهائی که در برگیرنده طیفی از وزن‌ها است، با استفاده از نقاط عطف منحنی فراوانی تجمعی وزن‌ها و تعیین آستانه‌ها با نظر کارشناسی نسبت به جدایش نقشه نهائی به پهنه‌هایی از خطر خیلی زیاد تا خطر بسیار کم اقدام شد.

ارزیابی نتایج برآورد خطر لغزش

ارزیابی نتایج خروجی مدل برآورد خطر لغزش زمین با استفاده از شاخص نسبت دانسته (Dr)، (Gee 1991) انجام شد. رابطه ۳.

$$Dr = \frac{Si}{\frac{\sum_i^n Si}{\sum_i^n Ai}} \quad (3)$$

هر یک از رده‌های عوامل فوق‌الذکر در موقع لغزش زمین در منطقه، از شاخص آماری درصد فراوانی زمین لغزش (رابطه ۱ Bonham Carter et al. (1990), Mukta Sharma et al. (2008) استفاده شده است.

$$Xi = \frac{A_L}{A_T} \times 100 \quad (1)$$

در این فرمول A_L مساحت پیکسل‌های لغزشی در هر واحد نقشه عامل و A_T مساحت کل پیکسل‌های نقشه عامل است. Xi درصد فراوانی زمین لغزش در رده آی ام از متغیر x است، که شاخص حساسیت یا مشارکت آن عامل در موقع لغزش‌های منطقه است. در نقشه‌های وزنی ساخته شده بر اساس شاخص فوق، هر پیکسل در هر نقشه عامل، دارای وزنی مستقل می‌باشد که بیانگر حساسیت آن واحد زمینی در آن نقشه عامل است.

علاوه بر این که به اجزا یا کلاس‌های مختلف یک عامل مانند لیتو‌لوژی یا شب، یک وزن تعلق می‌گیرد، به هر عامل با توجه به سازوکار تأثیرگذاری آن نسبت به عوامل دیگر نیز یک وزن داده می‌شود. عوامل در این تحقیق با توجه به دو نوع سازوکار اصلی، در دو گروه مجزا شامل: گروه عوامل محرك محیطی نابرجا و گروه عوامل برجا (شروعت جعفری و همکاران، ۱۳۸۴) قرار می‌گیرند.

با توجه به این که نقش عوامل محرك یا ماشه‌ای نسبت به دیگر عوامل موثر، در عمدۀ رخدادهای لغزشی گزارش شده تعیین کننده‌تر بوده، به این گروه عوامل (بارندگی و زلزله) بر اساس قضاؤت کارشناسی ضریب تأثیری معادل ۰/۹۲ و به دیگر عوامل مانند (لیتو لوژی و شب) با یک پله تفاوت ضریب تأثیر ۰/۸ داده شد. استدلال‌های تقریبی (Approximate Reasoning) مبنای قضاؤت‌های کارشناسی و تعریف آستانه‌ها (Threshold) است. وزن نهائی هر پیکسل در یک نقشه عامل شامل حاصل ضرب وزن پیکسل ضرب در وزن مربوط به اهمیت نسبی آن عامل است. از آنجا که پهنه‌بندی نقشه خروجی بر اساس جدایش منحنی فراوانی تجمعی وزن‌ها انجام می‌گیرد، لازم است گستره عددی امتیازات بین همه نقشه‌ها هماهنگ و همسان باشد.

جدول ۱- ویژگی های پهنه های خطر و شاخص ارزیابی مدل در کلاس های خطر

شاخص ارزیابی Dr	مساحت زمین لغزش ها به درصد	مساحت زمین لغزش ها به km ²	مساحت پهنه خطر به درصد	مساحت پهنه خطر به km ²	ویژگی ها پتانسیل خطر
۳/۷۷	۲۰/۹۱	۱۰/۸۱	۷/۰۶	۱۰۹/۹۱	خیلی زیاد
۱/۵۱	۳۷/۱۳	۱۵/۰۷	۲۴/۴۷	۳۸۰/۸۳	زیاد
۰/۷۳	۲۱/۵۸	۹	۳۰/۴۵	۴۷۳/۸۵	متوسط
۰/۶۶	۱۴/۲۴	۵/۹۴	۲۲/۱۸	۳۴۵/۱۱	کم
۰/۱۳	۲/۱۵	۰/۹	۱۵/۸۴	۲۴۶/۵۴	خیلی کم
---	%۱۰۰	۴۱/۷۲	%۱۰۰	۱۵۵۶	جمع

جابجایی در زمان خطر، شرایط محیطی، عوامل فنی و تکنولوژیکی است. عمدۀ منابع مورد استفاده در ارزیابی آسیب‌پذیری شامل داده‌های تاریخی و داده‌های ثبت شده با پیمایش و اندازه‌گیری‌های دستگاهی است. اجزای آسیب‌پذیر مورد استفاده در ارزیابی ریسک ویژه در این تحقیق عبارتنداز: جمعیت، سازه‌های عمرانی، منابع طبیعی و کشاورزی، که در شرایطی تحت تأثیر رخدادهای زمین لغزشی متحمل زیان خواهند شد.

- اولين و مهمترین رده از واحدهای آسیب‌پذیر، واحدهایی هستند که ارزش آنها تابع فراوانی و کیفیت حضور انسان در آن واحدها است. اين واحدها در صورتی که در شعاع تأثیر رخدادهای لغزشی واقع شوند زمینه‌ساز وقوع آسیب‌ها و بحران‌های جدی اجتماعی و فرهنگی می‌باشند. در مدیریت بحران‌های ناشی از حوادث طبیعی، توجه به تلفات و خسارات جانی به دلیل تأثیرات اجتماعی زیاد عموماً بیش از خسارات اقتصادی- عمرانی مورد توجه است. در تهیه این لایه از اطلاعات، پراکنش و فراوانی کلیه مناطقی که بطور نسبی احتمال حضور انسان در آنها بود مورد توجه قرار گرفت. برای این منظور سه لایه مجزا شامل: الف) مناطق مسکونی شهری و روستائی، ب) سازه‌های مسکونی منفرد (مانند کارگاه‌ها، کارخانجات و کپرهای بین شهری) و ج) مکان‌های تردد مانند جاده‌های بین شهری و روستائی، شناسائی و ثبت گردید. مجموع

در این رابطه نماد Si مساحت لغزش‌ها در هر کلاس خطر، Ai مساحت کلاس n ام و n تعداد کلاس‌ها است. دانسیته لغزش کلاسی با $Dr = 1$ معادل متوسط دانسیته لغزش در کل منطقه و کلاس دارای نسبت دانسیته ۲ دارای دانسیته لغزشی معادل دو برابر متوسط دانسیته لغزش منطقه می‌باشد. بنابراین هر چه تفکیک بین کلاس‌های خطر توسط شاخص نسبت دانسیته بهتر صورت گرفته باشد نکشه از مطلوبیت بیشتری برخوردار است، جدول ۱.

در مجموع مدل در تمایز کلاس‌های متوسط به بالا نسبت به کلاس‌های متوسط به پایین بسیار بهتر عمل نموده است و به بیانی دیگر پیش بینی انجام شده در کلاس‌های متوسط به بالا به واقعیت نزدیک‌تر است.

ارزیابی آسیب‌پذیری (Vulnerability)

آسیب‌پذیری میزان خسارت یک جزء مشخص یا مجموعه‌ای از اجزا از وقوع یک حادثه طبیعی با بزرگی معین می‌باشد و در مقیاس صفر (بدون آسیب) تا یک (تخرب کامل) توصیف می‌گردد. ارزیابی آسیب‌پذیری بر این اصل استوار شد، که با افزایش ارزش اجزای آسیب‌پذیر در یک منطقه، خسارات ناشی از زمین لغزش نیز الزاماً افزایش خواهد یافت. سطح آسیب‌پذیری‌ها در مجموع تابعی از شدت و شعاع تأثیر رخدادها، کیفیت و مقاومت سازه‌ها، کیفیت رعایت استانداردها، آگاهی از روش‌های محافظت شخصی، سهولت

وزن دهی واحدهای آسیب‌پذیر

با توجه به عدم امکان دسترسی به اطلاعات جامع در بسیاری از مناطق، سطح ارزیابی آسیب‌پذیری در منابع مختلف در گستره‌ای از سطح کاملاً کمی تا نیمه کمی و تا حد یک متغیر بولین متفاوت است (Hollestein, 2005) و از این حقیقت نشأت می‌گیرد که تا به حال خسارات ناشی از رخدادهای طبیعی به طور سیستماتیک ثبت و ذخیره نشده‌اند. محققینی از Leone et al. (1996), Dai FC et al. (2002) و Matrisis آسیب‌پذیری در ارزیابی‌ها استفاده نمودند. در این روش آسیب‌پذیری اجزا تابعی از ویژگی‌های لغزش (مانند سطح و دامنه تأثیر) و ویژگی‌های اجزای آسیب‌پذیر است. در این تحقیق در ارزیابی و وزن دهی واحدهای آسیب‌پذیر منطقه از شاخص آماری فراوانی، شعاع تأثیر رخدادهای محتمل در پهنه‌های خطر (Runout distance) و قضاوت کارشناسی استفاده شد.

از شاخص شعاع تأثیر یا فضای عمل زمین‌لغزش‌ها، که بیان‌کننده شعاع تخریب و آسیب‌رسانی یک لغزش در یک دامنه با پتانسیل لغزشی است، در تعریف آستانه‌ها و اعمال حریم‌ها (Buffering) استفاده شد. در مجموع به هر زیر لایه متناسب با میزان آسیب‌پذیری از رخدادهای محتمل و حساسیت یا اهمیت نسبی واحد، امتیازی تعلق می‌گیرد. نتایج ارزیابی واحدهای آسیب‌پذیر به شرح جدول ۲ می‌باشد. بر اساس این شاخص‌ها نقشه‌های وزنی آسیب‌پذیری منابع به صورت رقومی تولید گردیدند.

هم‌پوشانی نقشه‌های وزنی آسیب‌پذیری

ترکیب لایه‌ها با استفاده از مدل هم‌پوشانی شاخص‌های چندکلاسه انجام شد. در این مدل میانگین اثر وزنی هر پیکسل در نقشه خروجی بر اساس رابطه ۲ تعیین می‌گردد. لایه‌های اطلاعات ورودی به مدل، در مجموع ۳۰ لایه اطلاعات مجازی مربوط به سه کلان لایه سازه، جمعیت، منابع طبیعی و کشاورزی است که در نتیجه انجام عملیات ایجاد حریم بر روی ۱۲ زیر لایه حاصل شده است.

مساحت مناطق مسکونی اعم از شهری، روستائی، شهرک‌ها و واحدهای منفرد (وعوماً کارگاهی) ۱۶۳۲ هکتار می‌باشد. از مجموع مساحت مذکور ۱۲۳۸ هکتار در شبیه‌های ۱۰ درجه، ۲۰۴ هکتار در شبیه‌های ۲۰ الی ۳۰ درجه، و ۸۶ هکتار در شبیه‌های بیشتر از ۳۰ درجه واقع شده‌اند.

- دومین رده از واحدهای آسیب‌پذیر شامل سازه‌های مسکونی (شهری و روستائی)، سازه‌های راه (اعم از اصلی و فرعی) و سازه‌های انتقال نیرو است. در این مورد در مجموع ۵ لایه اطلاعات مجزا در محیط نرم‌افزاری GIS تهیه و پردازش شد. مجموع طول سازه‌های جاده‌ای منطقه طرح ۵۸۶ کیلومتر است که ۳۸۹ کیلومتر آن مربوط به جاده‌های اصلی و ۱۹۷ کیلومتر آن جاده‌های فرعی است. طول سازه‌های انتقال انرژی (عموماً خطوط فشار قوی برق) ۳۲۲ کیلومتر و مجموع مساحت سازه‌های مسکونی- تجاری منطقه طرح ۱۶۳۲ هکتار می‌باشد.

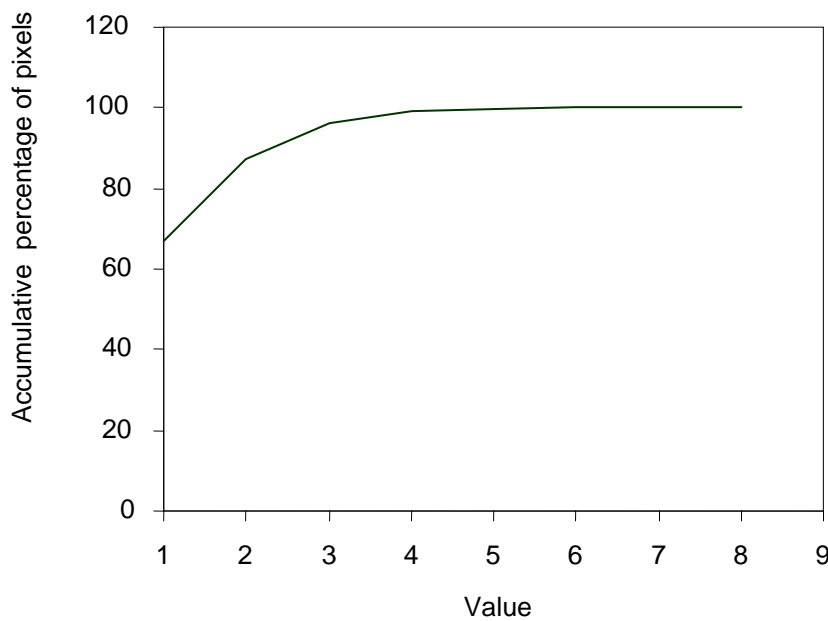
- سومین رده از واحدهای آسیب‌پذیر، واحدهای منابع طبیعی و کشاورزی می‌باشد که اطلاعات آن‌ها به صورت سه لایه مجزا شامل: (الف) باغات، (ب) زمین‌های کشاورزی و (ج) جنگل‌ها ثبت گردید. آسیب‌پذیری و تخریب باغات میوه، زمین‌های کشاورزی و منابع طبیعی در پی ناپایداری و لغزش زمین همواره یکی از عوامل ایجاد بحران‌های محلی و زیست‌محیطی بوده است. حفظ جنگل‌ها عنوان ثروت ملی در کنار دیگر منابع زیست‌محیطی و کشاورزی و ایجاد تمهیدات لازم در مقابله با بلایای طبیعی تخریب کننده موضوعی است که با برآورد ریسک، مدیریت می‌شود. هر چند ممکن است تخریب این منابع به اندازه تخریب سازه‌های عمرانی مانند راه‌ها و واحدهای مسکونی بحران‌ساز نباشد اما با درجات کمتر تأثیر مورد توجهی در ایجاد بحران‌های محلی دارد. لذا از این پارامتر نیز به عنوان یکی از اجزای تأثیرگذار مهم در ریسک استفاده شده است. در مجموع ۳۹۳۸ هکتار باغ، ۱۸۲۴۶ هکتار مزرعه، و ۹۳۹۸ هکتار جنگل در منطقه ثبت شد.

جدول ۲- وزن دهی به ویژگی های طبقه بندی شده واحد های آسیب پذیر از لغزش زمین در منطقه (شریعت جعفری ۱۳۸۵)

واحد های کلان آسیب پذیری	وزن (حساسیت)	واحد های خرد آسیب پذیری	وزن	کلاس	وزن کلاس	وزن نهائی کلاس
جمعیت (آسیب پذیری های انسانی)	۱	پلی گون شهر - شهرک - روستا	۱	داخل پلی گون	۱	۱
				<۸۰۰ m	۰/۷	۰/۷
				خارج پلی گون		
		پلی گون موضعی (کپر، کارگاه،...)	۱	>۸۰۰ m	۰/۱	۰/۱
				داخل پلی گون	۱	۱
				<۵۰۰ m	۰/۷	۰/۷
		مسیر آمد و شد بین شهری (جاده های اصلی)	۰/۸	>۵۰۰ m	۰/۱	۰/۱
				سطح جاده اصلی	۱	۰/۸
				<۱۰۰ m	۰/۵	۰/۴
		مسیر آمد و شد شهری - روستائی (جاده های فرعی)	۰/۸	خارج از جاده		
				>۱۰۰ m	۰/۱	۰/۰۸
				سطح جاده فرعی	۱	۰/۸
سازه ها (آسیب پذیری های عمرانی - مسکونی)	۰/۸	سازه های جاده ای اصلی	۱	<۵۰ m	۰/۵	۰/۴
				خارج از جاده		
				> m۱۰۰	۰/۱	۰/۰۸
		سازه های جاده ای فرعی	۰/۸	جاده اصلی	۱	۰/۸
				<۱۰۰ m	۰/۴	۰/۳۲
				خارج از جاده		
		سازه های انتقال نیرو (برق)	۱	> m۱۰۰	۰/۱	۰/۰۸
				سطح جاده فرعی	۱	۰/۶۴
				<۵۰ m	۰/۴	۰/۲۵
		سازه های مسکونی (شهر و روستا و شهرک)	۱	خارج از خط	۰/۱	۰/۰۸
				خط انتقال	۱	۰/۸
				داخل پلی گون	۱	۰/۸
منابع طبیعی و کشاورزی	۰/۶	سازه های مسکونی - تجاری موضعی	۰/۸	خارج پلی گون	۰/۱	۰/۰۸
				داخل پلی گون	۱	۰/۶۴
		اراضی زراعی	۰/۸	خارج پلی گون	۰/۱	۰/۰۶
				داخل پلی گون	۱	۰/۴۸
				خارج پلی گون	۰/۱	۰/۰۴
		جنگل	۰/۶	داخل پلی گون	۱	۰/۳۶

راهنمای پیوسته برای کاربر مشکل است، با جدایش منحنی فراوانی تجمعی وزن‌ها (شکل ۳) براساس نقاط عطف، نقشه آسیب‌پذیری به سه کلاس حساس، حساسیت متوسط و کم تا بدون حساسیت تفکیک گردید (شکل ۴).

نقشه تولید شده یک نقشه رقومی است که هر پیکسل آن مربعی به ابعاد 63×63 متر می‌باشد. هر پیکسل دارای یک اثر وزنی است که عبارت از میانگین وزنی مجموعه شاخص‌های آسیب‌پذیری است. با توجه به اینکه استفاده از نقشه رقومی با

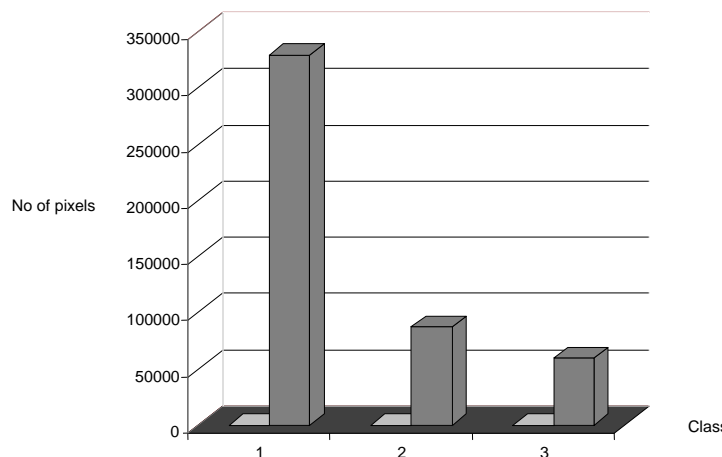


شکل ۳- منحنی فراوانی تجمعی اوزان مستخرج از نقشه وزنی آسیب‌پذیری

برآورد ریسک ویژه زمین لغزش

برای برآورد ریسک ویژه رانش زمین دو نقشه کلاسه بندی شده خطر و آسیب‌پذیری قطع داده شدند. سپس براساس جدول دوبعدی زیر (جدول ۳) تلفیق کلاس‌های خطر و آسیب‌پذیری در مدل ارزیابی ریسک رانش زمین (شریعت جعفری ۱۳۸۵) انجام شد. حاصل عملیات نقشه وزنی ریسک ویژه منطقه است. در این نقشه هر پیکسل دارای یک مقدار عددی است که وزن نامیده می‌شود و به طور نسبی نشان دهنده پتانسیل آسیب‌پذیری آن نقطه از رخدادهای احتمالی لغزش در آینده است. رخدادهای لغزشی در آینده تحت شرایطی مشابه با گذشته اتفاق خواهند افتاد.

در مجموع ۷۷/۶۶ درصد مساحت منطقه در کلاس کم تا بدون حساسیت، ۱۸/۴ درصد در کلاس متوسط و ۱۲/۸۴ درصد در کلاس حساس قرار می‌گیرند (شکل ۳). از کل مساحت منطقه $۰/۰۳$ درصد معادل ۱۲ پیکسل دارای وزن ۷ تا ۸ می‌باشند. نقاطی با وزن ۴ تا ۶ در مجموع کمتر از یک درصد (معادل ۴۳۳۶ پیکسل) را شامل می‌گردند. بقیه منطقه که شامل ۹۹ درصد است دارای وزنی بین ۱ تا ۴ می‌باشند. بر این اساس نقاط بحرانی (بسیار آسیب‌پذیر) منطقه به سهولت قابل شناسائی است و در مدیریت بحران بسیار کارا است.



شکل ۴- هیستوگرام فراوانی پهنه‌های آسیب‌پذیر در منطقه (۱: کم ۲: متوسط ۳: زیاد)

جدول ۳- جدول دو بعدی تلفیق کلاس‌های خطر و آسیب‌پذیری در مدل ارزیابی ریسک رانش زمین
(شوریعت جعفری ۱۳۸۵)

E (بسیار پایین)	D (پایین)	C (متوسط)	B (بالا)	A (بسیار بالا)	خطر رانش زمین آسیب‌پذیری
E	D	C	B	A	(بسیار بالا)
E	D	C	B	B	متوسط (C)
E	E	E	E	E	(بسیار پایین)

بحث و نتیجه‌گیری

- هدف نهائی همه تئوری‌های مورد استفاده در ارزیابی و تحلیل ریسک، حل و تعیین عدم قطعیت‌ها است که در بسیاری از مسائل ناشی از ابهام است. ابهام در حدود و مرز صفات نسبت داده شده به رخدادهای طبیعی (مانند دامنه و کیفیت تأثیر رخدادهای زمین‌لغزشی) که عموماً مشتق از تعریف آستانه‌ها (Threshold) توسط کارشناس خبره و قضاوت‌های کارشناسی است. این تعاریف همراه با نوعی استدلال تقریبی است که اساس نظرات کارشناسی می‌باشد و کاملاً بستگی به اهداف کاربر دارد. بنابراین صحبت از کارائی یک مدل، یک امر نسبی است.
- مدل همپوشانی شاخص‌های چند کلاسه که در ترکیب داده‌ها مورد استفاده قرار گرفته، مانند مدل ضرب جبری

چنان‌چه آمار و ویژگی‌های رخدادهای گذشته و متغیرهای مرتبط با آنها برای منطقه‌ای ثبت شده باشد برآورد احتمال ریسک کل نیز برای دوره‌ای بازگشت مختلف مقدور خواهد بود. برای این‌که نقشه وزنی ریسک ویژه برای کاربران قابل استفاده باشد با کلاس‌بندی منحنی تجمعی اوزان، منطقه به پنج کلاس از ریسک بسیار بالا تا ریسک بسیار پائین تقسیم گردید. آنچه که مسلم است تغییر کاربری‌های موجود، بر مقدار ریسک تأثیر خواهد داشت و بنابراین هرگونه تغییر کاربری و یا تغییر فراوانی منابع یا اجزای ریسک باید همراه با تمهیدات لازم و کافی باشد.

با توجه به این‌که مدل همپوشانی شاخص‌های چندکلاسه مورد استفاده در ساخت نقشه‌های وزنی ریسک، عمل‌گری افزایشی است، کاربرد مقادیر ریسک نقشه خروجی این تحقیق در طرح‌های توسعه و آمیش سرزمین، خاص کاربری‌های حساس است.

- نقشه ریسک ویژه منطقه، به طور بالقوه سطح آسیب‌پذیری مجموع عوامل آسیب‌پذیر در هر نقطه را برای طراحان طرح‌های توسعه و سرمایه‌گذاران محلی و منطقه‌ای نشان می‌دهد و پیش‌بینی افزایش زیان و آسیب‌پذیری را به طور کیفی در تغییر کاربری‌ها یا تغییر فراوانی منابع، برای کاربران ممکن می‌سازد.
- با توجه به تنوع ایده‌ها، متداول‌تری‌ها و ابزارهای سنجش و پیشرفت‌های سریع تکنولوژیکی در دنیا، برای رفع نیازها در سطح ملی، نیازمند تحقیقاتی منسجم و مدیریت شده در غالب برنامه‌های راهبردی هستیم.

فازی عملگری افزایشی است. بنابراین امتیاز زیاد در پیکسل‌های خروجی این مدل، بیانگر حساسیت زیاد آن (تا بیش از دو برابر) نسبت به امتیاز زیاد در پیکسل‌های مشابه در عملگرهای کاهشی است. بنابراین کاربرد نتایج این مدل در طرح‌های توسعه و آمایش سرزمین خاصه کاربری‌های حساس است. نتایج این مدل در این منطقه می‌تواند مبنای تعریف مقررات حفاظتی، طراحی راهکارها و طراحی فوریت‌ها باشد. این‌ها از عناصر اصلی مدیریت ریسک بلایای طبیعی هستند.

منابع

احمدی، حسن. ابازد، اسماعیلی. سادات، فیض نیا. محسن، شریعت جعفری (۱۳۸۲) پنهانه بندی خطر حرکت‌های توده‌های با دو مدل رگرسیون چندمتغیر (MR) و تحلیل سلسله مراتبی (AHP) مجله علمی-پژوهشی منابع طبیعی ایران (دانشگاه تهران)، جلد ۵ شماره ۴

گریم اف. بوهم کارت: ۱۳۷۹. سیستم‌های اطلاعات جغرافیایی برای دانش پژوهان علوم زمین، ترجمه و نشر گروه GIS سازمان زمین‌شناسی و اکتشافات معدنی کشور.

شریعت جعفری، محسن. رامین، حامد پناه. (۱۳۸۶) پیش‌بینی خطر ناپایداری شیب‌های طبیعی با استفاده از عملگرهای ضرب و جمع جبری فازی، مجله منابع طبیعی ایران، دوره ۶۰، شماره ۳ ص ۷۴۵-۷۵۸

شریعت جعفری، محسن. جعفر، غیومیان. نادر، جلالی. علی، غفاری (۱۳۸۵) پنهانه بندی خطر و ریسک ویژه زمین‌لغزش در البرز مرکزی، پژوهشکده حفاظت خاک و آبخیزداری، گزارش نهائی طرح تحقیقاتی خاص، ۱۱۰ ص مهدویفر، محمدرضا (۱۳۸۶) ارزیابی تحلیلی و طراحی سامانه جامع مدیریت ریسک زمین‌لغزش‌های ناشی از زلزله، پایان نامه دکتری، لرزوه شناسی، پژوهشکده رئوتکنیک، پژوهشگاه بین‌المللی زلزله‌شناسی و مهندسی زلزله

Abbot B, Bruce I, Savigny W, Keegan T, Oboni F (1998b) Application of a new methodology for the management of rockfall risk along a railway. In: Moore D, Hungr O (eds) Proceedings of the 8th IAEG Congress, Vancouver, A.A. Balkema, Rotterdam, pp 1195-1200

Abbut B, Bruce I, Savigny W, Keegan T, Oboni F (1998a) A methodology for the assessment of rockfall hazard and risk along linear transportation corridors. In: Moore D, Hungr O (eds) Proceedings of the 8th IAEG Congress, Vancouver, A.A. Balkema, Rotterdam, pp 1195-1200

AS/NZS 4360 (1999). Risk Management, Standards Australia/Standards New Zealand.

AIRMC, ALARM, IRM, (2002). A Risk Management Standard, www.airmc.com

Baynes FJ, Lee EM (1998) Geomorphology in landslide risk analysis, an interim report. In: Moore D, Hungr O (eds) Proceedings of the 8th IAEG Congress, Vancouver. A.A. Balkema, Rotterdam, pp 1129-1136

BSI. (2000), British Standard Project Management Part 3: Guide to the management of business related project risk (BS6079-3:2000). Technica Committee MS/2 British Standards Institutio

Carrara A, Cardinali M, Guzzetti F (1992) Uncertainty in assessing landslide hazard and risk. ITC J 2:172-183

Chacon J, Irigaray C, Fernandez T, El Hamdouni r, (2006) Engineering geology maps: landslides and GIS, Bull Eng. Geo. Environ. 65: 341 -411

- Chardon AC. (1999) A geographic approach of the global vulnerability in urban area, *Geo. Journal* 49: 197 – 212
- CAN/CSA- Q850-97 (1997) Risk Management: Guideline for Decision Makers, Canadian Standards Association. Rexdale, Ontario.
- Dai FC, Lee CF, Ngai YY (2002) Landslide risk assessment and management: an overview. *Eng Geol* 64(1):65-87
- Einstein HH (1988) Special lecture: landslide risk assessment procedure. In: Proceedings of the Vth ISL Lausanne, vol 2, pp 1075-1090
- Fell R (1992) Some landslide risk zoning schemes in use in Eastern Australia and their application. In: Proceedings of the VIth Australian-New Zealand conference on geomechanics society, Christchurch, NZ, pp 505-512
- Fell R (1994) Landslide risk assessment and acceptable risk. *Can Geotech J* 31:261-272
- Fell R, Hartford D (1997) Landslide risk assessment. In: Cruden D, Fell R (eds) *Landslide risk assessment. Proceedings of the international workshop on landslide risk assessment*, Honolulu. Balkema, Rotterdam, pp 51-110
- Gee,D. Michael. (1991) Classification of Landslide Hazard Zonation Methods and a Test of Predictive Capabilty. Proceeding of the 6th International Symposium on Landslide, Balkema , Landslides. 31: 947-958
- Guzzetti F, Reichenbach P, Wieczorek GF (2003b) Rockfall hazard and risk assessment in the Yosemite Valley, California, USA. *Nat Hazards Earth Syst Sci* 3:491-503
- Hollestein K (2005) Reconsidering the risk assessment concept: standardizing the impact description as a building block for vulnerability assessment. *Nat Hazards Earth Syst Sci* 5:301-307
- JSA. (2001) Guidelines for development and implementation of risk management system. Japanese Standards Association, Japan
- Laird RT, Perkins JB, Bainbridge DA, Baker JB, Boyd RT, Huntsman D, Staub PE, Zucker MB (1979) Quantitative land-capability analysis. US Geological Survey Professional Paper 945. US Department of Interior, Washington, 115 pp
- Leroueil S, Locat J (1998) Slope monements—geotechnical characterization, risk assessment and mitigation. In: Moore D, Hung O (eds) *Proceedings of the 8th IAEG Congress*, Vancouver. A.A. Balkema, Rotterdam, pp 933-944
- Liu X, Lei J (2003) A method for assessing regional debris flow risk: an application in Zhaotong of Yunnan province (SW China). *Geomorphology* 52:181-191
- Liu X, Yue ZQ, Tham LG, Lee CF (2002) Empirical assessment of Debris flow risk on a regional scale in Yunnan, southwestern China. *Environ Manage* 30(2):249-264
- Leone F, Aste J.P, Leroi E, (1996) Vulnerability assessment of elements exposed to mass-moving; working toward a better risk perception, In: Senneset, K.(Ed.), *Landslides*, Balkema, Rotterdam, pp. 263-269.
- Mallamud BD (2003) A universal probability distribution for landslide events. *Geophys Res Abstr* 5:04399
- Maquaire O, Thiery Y, Malet P, Weber C, Puissant A, Wania A (2004) Current practices and assessment tools of landslide vulnerability in mountainous basins identification of exposed elements with a semiautomatic procedure. In: Lacerda WA, Ehrlich M, Fontoura SAB, Sayao ASF (eds) *Landslides: evaluation and stabilization*. Balkema, Taylor & Francis Group, London, pp171-176
- Prina E, Bonnard Chr, Vulliet L (2004) Vulnerability and risk assessment of a mountain road crossing landslides. *Riv Ital Giotec* 2:67-79
- PMBOK GUIDE (2004) A Guide to the Project Management Body of Knowledge, Project management Institute, Four campus Boulevard Square, PA19073-3299 USA,
- Remondo J, Bonachea J, Cendrero A (2004) Probabilistic landslide hazard and risk mapping on the basis of occurrence and damages in the recent past. In: Lacerda WA, Ehrlich M, Fontoura SAB, Sayao ASF (eds) *Landslides:evaluation and stabilization*. Balkema, Taylor & Francis Group, London, pp 125-130
- Rocha GC (2004) Landslide risk mapping methodology applied to medium size urbanities in Brazil:case study of Juiz de Fora town, Minas Gerais state. In:Lacerda WA, Ehrlich M, Fontoura SAB, Sayao ASF (eds) *Landslides: evaluation and stabilization*. Balkema, Taylor & Francis Group, London, pp 297-302
- Rautela P, Lakhera RC (2000) Landslide risk analysis between Giri and Tons rivers in Himachal Himalaya. *IAG* 2(3/4):153-160

- Spiker EC, Gori PL (2000) National landslide hazards mitigation strategy: a framework for loss reduction. Open-fili report 00-450, Department of Interior, U.S.G.S., USA, 49 PP
- Spiker EC, Gori PL (2003a) Partnerships for reducing landslide strategy. The National Academy of Sciences Press, Washington, DC
- Spiker EC, Gori PL (2003b) National landslide hazards mitigation strategy: a framework for loss reduction. USGS Circular 1244. US Department of Interior, U.S.G.S. Reston, Virginia, 56 pp
- Spizzichino D, Falconi L, Delmonaco G, Margottini C, Puglisi V (2004) Integrated approach for landslide risk assessment of Craco village (Italy). In:Lacerda WA, Ehrlich M, Fontoura SAB, Sayao ASF (eds) Landslides: evaluation and stabilization. Balkema, Taylor & Francis Group, London, pp 273-242
- Stevenson PC (1977) An empirical method for the evaluation of relative landslide risk. Int Ass Eng Geol Bull 16:69-72
- Van Westen CJ (2004) Geoinformation tools for landslide risk assessment:an overview of recent developments. In: Lacerda WA, Ehrlich M, Fontoura SAB, Sayao ASF (eds) Landslides: evaluation and stabilization. Balkema, Taylor & Francis Group, London, pp 39-56
- UN/ISDR (2005) Living with Risk: focus on disaster risk reduction -United Nations International Strategy for Disaster Reduction - p16
- Varnes DJ (1984) International Association of Engineering Geology Commission on landslides and Other Mass Movements on Slopes. Landslide hazard zonation: a review of principles and practice. Int Assoc Eng Geol, UNESCO Natural Hazards Series no. 3, 63 pp
- Wu Q, Ye S, Wu X, Chen P (2004) Risk assessment of earth fractures by constructing an intrinsic vulnerability map, a specific vulnerability map, and a hazard map, using Yuci city, Shanxi, China as an example. Environ Geol 46:104-112
- Xie QM, Xia YY (2004) Systems theory for risk evaluation of landslide hazard. Int. J. Rock Mech Min Sci, Vol 41, no.3, CD-ROM, Elsevier, Netherland